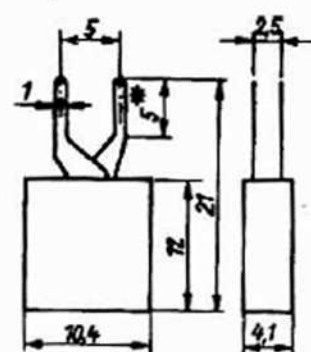


Selenkleinrichtgerichte für gedruckte Schaltungen

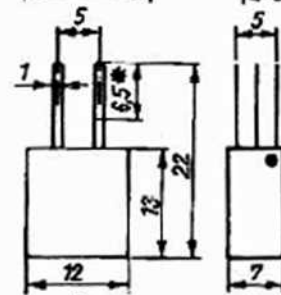
Селеновые миниатюрные выпрямители для печатанных схем коммутации

Selenium subminiature rectifiers for printed circuits

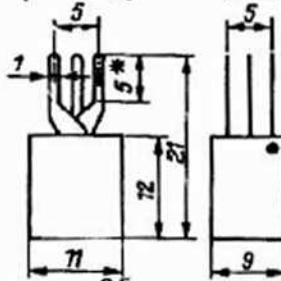
Typ	Kenndaten bei $\theta_a = -40...+40^\circ\text{C}$		Gehäuse- abmessungen
	$U_{AN}$ V	$I_{FN}$ mA	
E 20 C 60	20	60	4 x 10 x 12
E 25 C 60	25	60	4 x 10 x 12
E 50 C 80	50	80	7 x 12 x 13
E 60 C 70	60	70	7 x 12 x 13
E 75 C 70	75	70	7 x 12 x 13
E 100 C 40	100	40	9 x 11 x 12
E 125 C 40	125	40	9 x 11 x 12
M 20 C 120	20	120	4 x 10 x 12
M 25 C 120	25	120	4 x 10 x 12
M 60 C 140	60	140	7 x 12 x 13
M 75 C 140	75	140	7 x 12 x 13
M 80 C 80	80	80	9 x 11 x 12
M 100 C 80	100	80	9 x 11 x 12
V 10 C 60	10	60	4 x 10 x 12
V 12,5 C 60	12,5	60	4 x 10 x 12
V 30 C 70	30	70	7 x 12 x 13
V 37 C 70	37	70	7 x 12 x 13
V 40 C 40	40	40	9 x 11 x 12
V 50 C 40	50	40	9 x 11 x 12
B 20 C 25	20	25	7 x 7 x 8
B 25 C 25	25	25	7 x 7 x 8
B 20 C 200	20	200	7 x 12 x 13
B 25 C 200	25	200	7 x 12 x 13
B 40 C 80	40	80	9 x 11 x 12
B 50 C 80	50	80	9 x 11 x 12



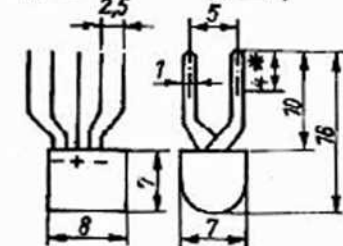
E 20 C 60  
E 25 C 60  
M 20 C 120  
M 25 C 120  
V 10 C 60  
V 12,5 C 60



E 50 C 80  
E 60 C 70  
E 75 C 70  
V 30 C 70  
V 37 C 70  
M 60 C 140  
M 75 C 140  
B 20 C 200  
B 25 C 200



E 100 C 40  
E 125 C 40  
M 80 C 80  
M 100 C 80  
V 40 C 40  
V 50 C 40  
B 40 C 80  
B 100 C 80



B 20 C 25  
B 25 C 25

\* löfbar  
Polaritätskennzeich-  
nung (roter Punkt)  
bei E-Schaltung

# Kurzzzeichen

A	wirksame Fläche	$I_Z$	Z-Strom	$U_{CESat}$	Kollektor-Emitter-Sättigungsspannung
$C_c$	Gehäusekapazität	$\Delta I_Z$	Stabilität des Z-Stroms	$U_{CEV}$	Kollektor-Emitter-Sperrspannung bei in Sperrrichtung vorgepannter Emitterdiode
$C_{gss}$	Eingangskapazität	$I_O$	Ausgangsstrom	$U_D$	Blockierspannung
$C_j$	Sperrschichtkapazität	$I_{O_0}$	Richtstrom	$U_{DB}$	Drain-Bulk-Spannung
$C_L$	Lastkapazität	$\Delta I_{O_0}$	Richtstromdifferenz	$U_{DG}$	Drain-Gate-Spannung
$C_{tot}$	Gesamtkapazität	l	Länge	$U_{DM}$	Scheitelblockierspannung
CMR	Gleichtaktunterdrückung	L	Leuchtdichte	$\hat{U}_{DR}$	Periodische Spitzenblockierspannung
$d_{\dot{u}}$	Übertragungsdämpfung	$L_S$	Serieninduktivität	$\hat{U}_{DS}$	Nichtperiodische Spitzenblockierspannung
E	Beleuchtungsstärke	$N_O$	Ausgangslastfaktor	$U_{DS}$	Drain-Source-Spannung
F	Rauschfaktor	$P_{in}$	HF-Eingangsleistung	$U_e$	Eingangsspannung
f	Frequenz	$\hat{P}_{RS}$	Nichtperiodische Sperrverlustleistung	$U_{EBO}$	Emitter-Basis-Sperrspannung
$f_{h21b}$	Grenzfrequenz in Basisschaltung	$P_{tot}$	Totale Verlustleistung	$U_F$	Durchlaßgleichspannung
$f_{h21e}$	Grenzfrequenz in Emitterschaltung	$R_{\dot{a}q}$	Äquivalentwiderstand	$U_{GB}$	Gate-Bulk-Spannung
$f_Q$	Gütegrenzfrequenz	$R_{BE}$	Basis-Emitter-Widerstand	$U_{GS}$	Gate-Source-Spannung
$f_T$	Transitgrenzfrequenz	$R_{DS}$	Drain-Source-Widerstand	$U_{GT}$	Zündspannung
$G_{pb}$	HF-Leistungsverstärkung in Basisschaltung	$R_e$	Eingangswiderstand	$U_{HF}$	HF-Spannung
h	Höhe	$R_g$	Generatorwiderstand	$U_I$	Gleichtakteingangsspannung
$h_{21E}$	Gleichstromverstärkung	$R_L$	Lastwiderstand	$U_{ID}$	Differenzeingangsspannung
$h_{21e}$	Kurzschlußstromverstärkung in Emitterschaltung	$R_{th}$	Gesamtwärmewiderstand	$U_{IO}$	Eingangsoffsetspannung
$I_B$	Basisstrom	$R_{thi}$	Innerer Wärmewiderstand	$U_R$	Sperrspannung, Sperrgleichspannung
$I_C$	Kollektorstrom	$r_F$	Durchlaßwiderstand	$U_{RM}$	Scheitelsperrspannung
$I_{CBO}$	Kollektorreststrom bei offenem Emitter	$r_R$	Sperrwiderstand	$\hat{U}_{RR}$	Periodische Sperrspannung
$I_{CES}$	Kollektor-Emitter-Reststrom	$r_Z$	Z-Widerstand	$\hat{U}_{RS}$	Nichtperiodische Sperrspannung
$I_{CEV}$	Kollektorreststrom bei in Sperrrichtung vorgepannter Emitterdiode	S	Empfindlichkeit	$U_S$	Betriebsspannung
$I_D$	Drainstrom	$t_{DHL}$	Einschaltverzögerungszeit	$U_{SB}$	Source-Bulk-Spannung
$I_{D_0}$	Blockierstrom	$t_{DLH}$	Ausschaltverzögerungszeit	$U_T$	Schwellspannung
$\hat{I}_{DR}$	Drainspitzenstrom	$t_{gt}$	Zündzeit	$U_Z$	Z-Spannung
$I_e$	Strahlstärke	$t_{off}$	Ausschaltzeit	$\Delta U_Z$	Stabilität der Z-Spannung
$I_F$	Flußstrom, Durchlaßgleichstrom	$t_{on}$	Einschaltzeit	$U_{OH}$	High-Ausgangsspannung
$\bar{I}_F$	Dauergrenzstrom	$t_q$	Freiwerdezeit	$U_{OL}$	Low-Ausgangsspannung
$\hat{I}_F$	Effektiver Durchlaßstrom	$t_r$	Anstiegzeit	$V_U$	Spannungsverstärkung
$I_{FM}$	Scheiteldurchlaßstrom	$t_{rr}$	Sperrerrholungszeit	$Y_{21}$	Steilheit
$I_{FN}$	Nenndurchlaßstrom, Nenngleichstrom	$t_s$	Speicherzeit	$\vartheta_a$	Umgebungstemperatur
$\hat{I}_{FR}$	Periodischer Spitzenstrom	TK <sub>UZ</sub>	Temperaturkoeffizient der Z-Spannung	$\vartheta_c$	Gehäusetemperatur
$\hat{I}_{FS}$	Nichtperiodischer Spitzenstrom	$U_{AN}$	Nennanschlußspannung (Effektivwert)	$\vartheta_j$	Sperrschichttemperatur
$I_{GT}$	Zündstrom	$U_{BE}$	Basis-Emitter-Spannung	$\Delta\vartheta$	Temperaturdifferenz
$I_H$	Haltestrom	$U_{(BR)}$	Durchbruchspannung	$\lambda$	Emissionswellenlänge
$I_I$	Eingangsbiasstrom	$U_{CB}$	Kollektor-Basis-Spannung	$\lambda_p$	Wellenlänge maximaler Emission
$I_{IO}$	Eingangsoffsetstrom	$U_{CBO}$	Kollektor-Basis-Sperrspannung	$\Delta\lambda$	Spektrale Halbwertsbreite
$I_R$	Sperrstrom	$U_{CE}$	Kollektor-Emitter-Spannung	$\tau_i$	Einschaltzeitkonstante
$I_T$	Durchlaßstrom	$U_{CEO}$	Kollektor-Emitter-Sperrspannung bei offener Basis		
$\bar{I}_T$	Dauergrenzstrom	$U_{CER}$	Kollektor-Emitter-Sperrspannung bei endlichem Basis-Emitter-Widerstand		
$\hat{I}_T$	Effektiver Durchlaßstrom	$U_{CERest}$	Kollektorrestspannung		
$\hat{I}_{TR}$	Periodischer Spitzenstrom	$U_{CES}$	Kollektorsperrspannung bei kurzgeschlossenener Emitterdiode		